

素子材料基礎
第2講義
Oct. 26, 2011

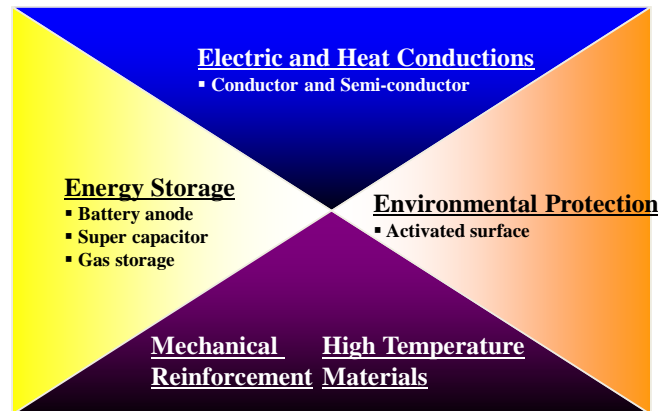
第4章 炭素物質の電子状態と 化学反応性

尹 聖昊

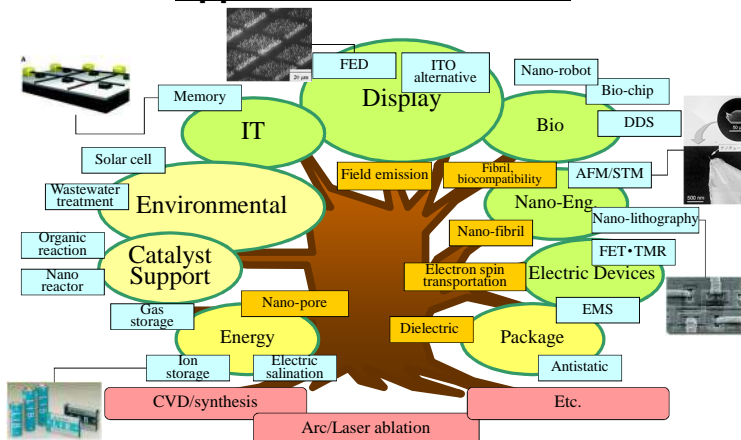
九州大学先導物質化学研究所

1

Characteristic Performances of Carbons



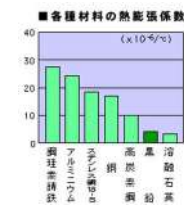
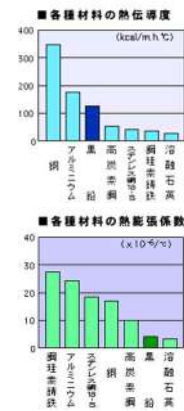
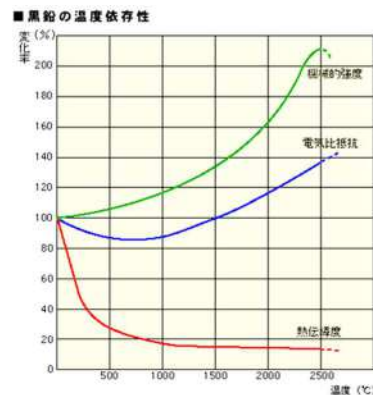
Applications of Carbons



Characteristics of carbons

- Thermal stability
- High thermal and electric conductivities
SWNT, Diamond : 4000 W/mK, K-11
carbon fiber: 1100 W/mK
- Small heat expansion
- High thermal shock properties
- High chemical stability
- Abrasion and lubricant properties
- High mechanical properties

Thermal characteristics of carbons



Bonding Hybridization	Allotropes	Derived and Defective Forms
SP ³	Cubic diamond	Diamond-like Carbon
SP ²	Hexagonal graphite	Poly-crystalline Graphite Carbon Black Cokes and Activated Carbons Carbon Fibers
SP ^{2+e} rehybridization	Fullerene	Bucky Onions Toroidal Structures Acetylene Blacks Nanotubes
SP ¹	Carbyne	

Carbon Allotropes

Ref.) Bourrat, X. Structure in Carbons and Carbon Artifacts. In: *Sciences of Carbon Materials*. Marsh, H.; Rodriguez-Reinoso, F., Eds., Universidad de Alicante, 2000. pp1-97.

表-1 各種炭素-炭素結合の結合解離エネルギーと結合距離¹⁾

化合物	結合解離エネルギー (kcal/mol)	結合距離 (Å)
H ₃ C-C ₆ H	88	1.53
H ₃ C=C ₆ H	163	1.34
HC≡CH	198	1.21

表-2 炭素同素体の種類³⁾

結合の種類	配位数	炭素同素体	
		sp	sp ³
sp	2	カルビン (ポリイソ、クムレン)	
sp ³	3	グラファイト (六方晶、菱面体晶)	フラーイン (C ₆₀ , C ₇₀ , バッキチユーブなど)
sp ³	4	ダイヤモンド (立方晶、六方晶、菱面体晶*)	ダイヤモンド多形晶 (6H, bc-8など)
イオンまたは 金属的	6	ダイヤモンドライカーボン (DLC), i-カーボン	ダイヤモンドライカーボン (DLC), i-カーボン
	8	単純立方晶*, β-スズ型*	
	12	体心立方晶*	
	16	面心立方晶*, 六方最密充填*	

*実験

表-4 IV族sp³立方晶の性質⁶⁾

性 質	ダイヤモンド	β -SiC	Si
格子定数 (Å)	3.567	4.358	5.430
密度 (g/cm ³)	3.515	3.216	2.328
熱膨張率 ($\times 10^{-4}/\text{°C}$)	1.1	4.7	2.6
融点 (°C)	4000	2540	1420
バンドギャップ (eV)	5.45	3.0	1.1
キャリア移動度 (cm ² /(V · S))	2200	400	1500
電 密	1600	50	600
熱伝導率 (W/(cm · K))	20	5	1.5
硬度 (GPa/m ²)	10000	3500	1000

sp³混成軌道

π軌道の模形

σ 軌道を球で表した時の配置

(a)

(b)

図-1 炭素の混成軌道

図-2 ダイヤモンドの構造⁵⁾

図-3 6H型およびbc-8型ダイヤモンド多形体の構造^{5), 8)}

2

Molecular structures of graphite

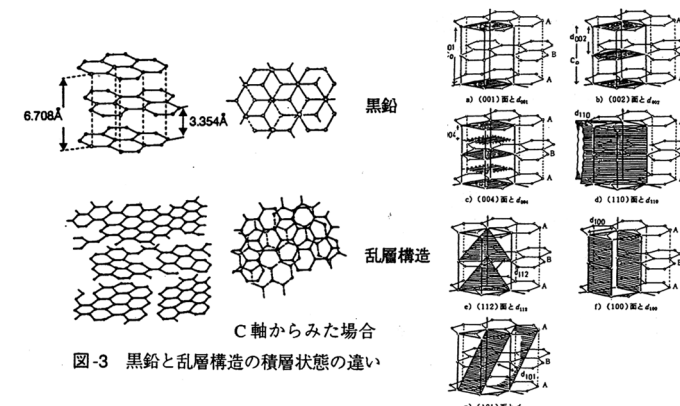
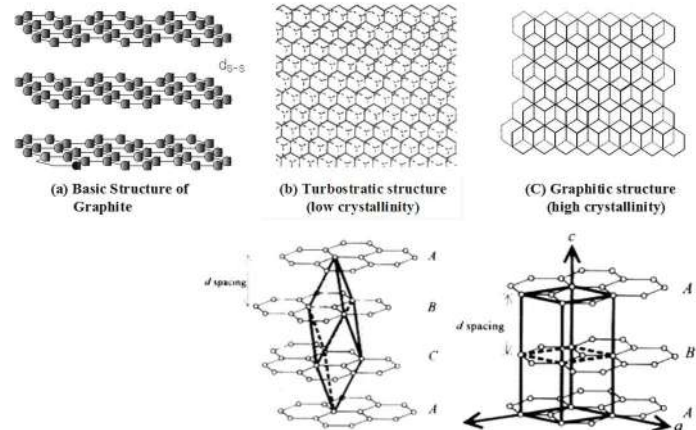
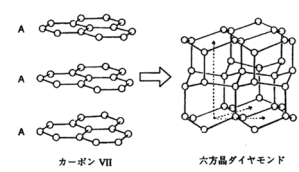
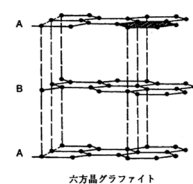
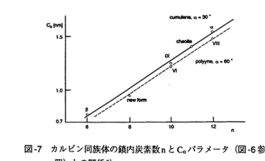
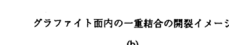
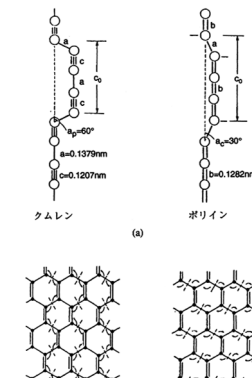
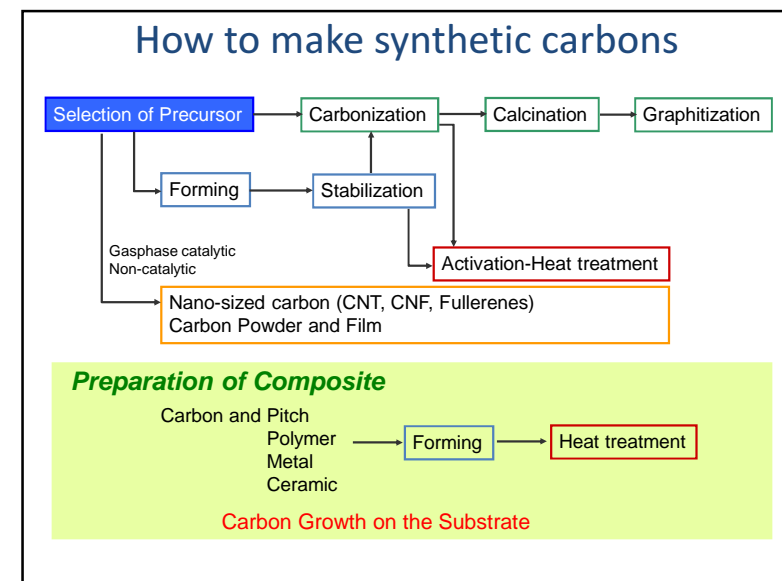
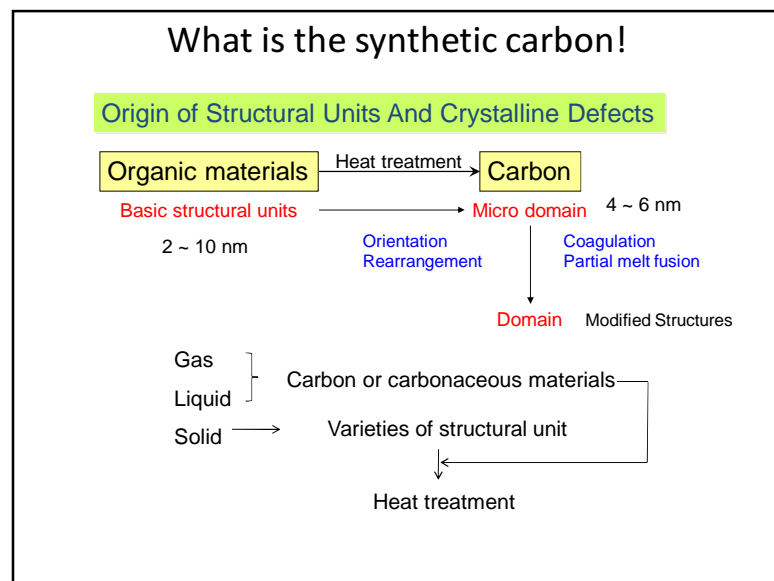
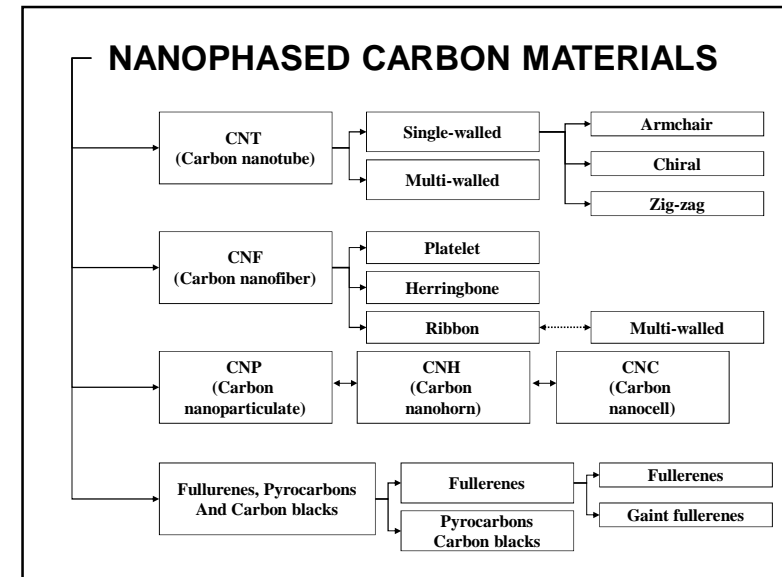
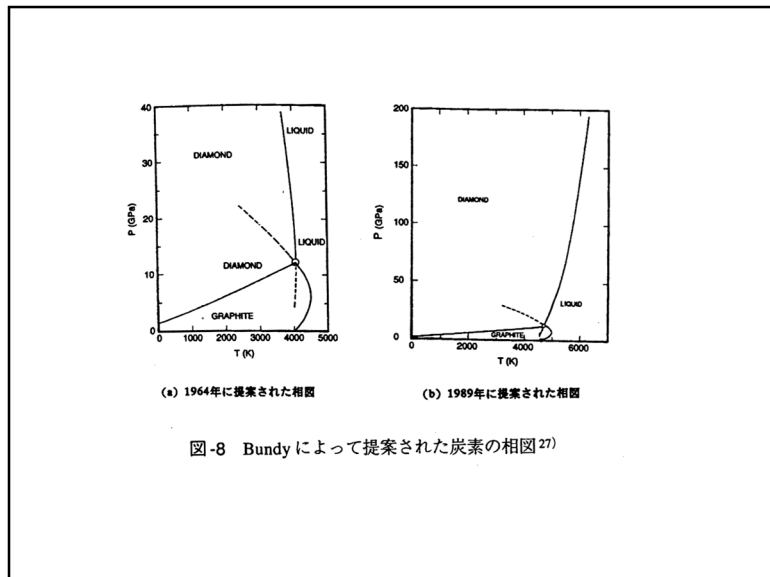
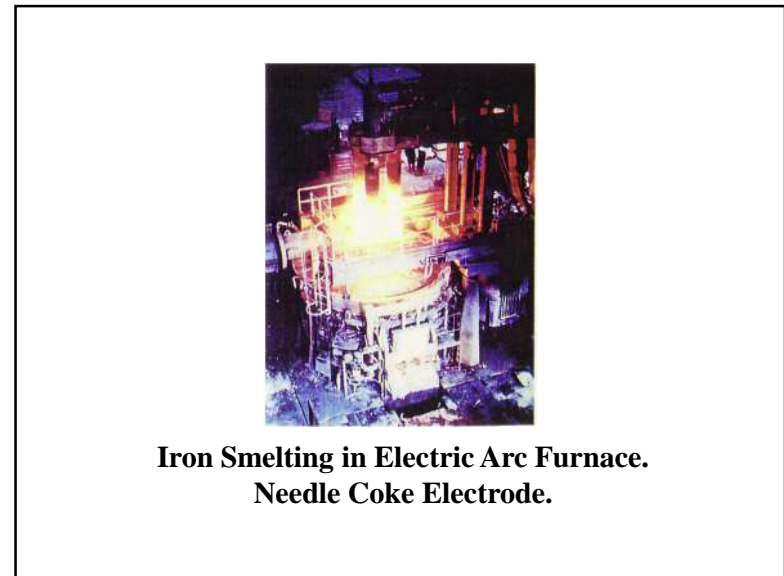
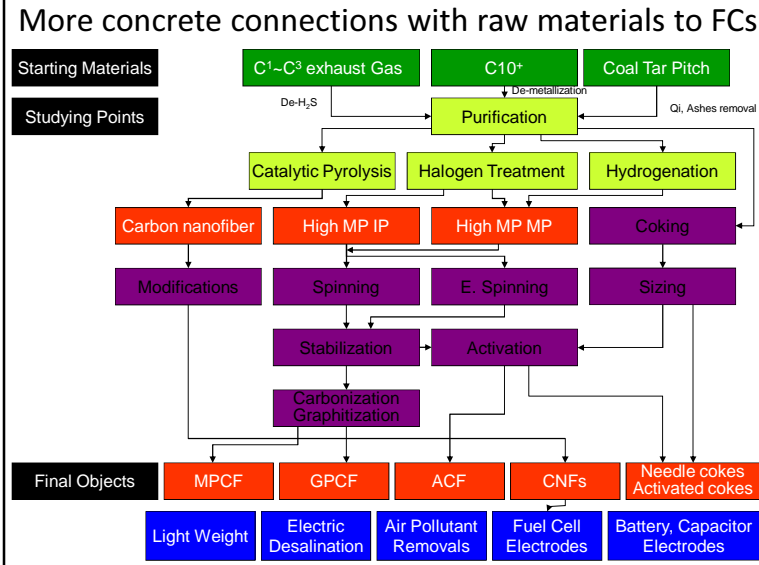


図-3 黒鉛と乱層構造の積層状態の違い

図-2 六方晶系黒鉛の格子面

図-4 グラファイトの構造およびダイヤモンドへの転換イメージ¹²⁾図-6 カルビンの構造およびグラファイト面内一重結合開裂イメージ²⁾





ピッチ系活性炭素繊維

等方性
ピッチ

等方性
ピッチ

PI系

無酸化

活性化

高表面積、ミクロポア、繊維状、導電性

問題点: 吸着量、連続吸着、選択性

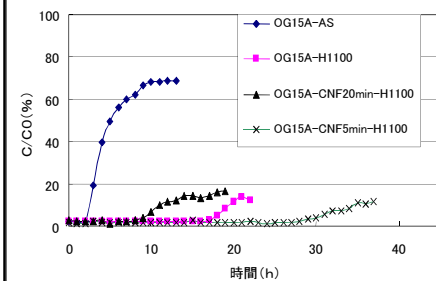
原因: ポア構造、大きさ、表面特性

-KOH 脱活: Nanopore サイズ制御: キャビシタ 物性
面的向上

-1050°C 熱処理: 表面性質制御: DeSOx 性能面的
向上

-硝酸処理: 表面性質制御: Chloro-compounds 除去
能向上

内筒空気
外筒空気
スパーカー
清浄生気
内筒空気

Fig. 3 CNF-ACF複合体を利用したSO₂連続除去プロファイル

OG15A-AS: Pitch based as-prepared ACF from Osaka Gas
OG15A-H1100: Heat treated OG15A-AS at 1100°C for 0h
OG15A-CNF5min-H1100: Heat treated CNF-OG15A-AS composites (CNF生成時間: 5分)

OG15A-CNF5min-H1100を利用して、OG15A-H1100
よりさらに高い排煙脱硫性能を達成した。
(完全脱硫: 28時間以上、定常脱硫率: 85%)

OG15A-H1100を利用した
硫酸回収型排煙脱硫装置は、
パイロットテストを終え、
2004年4月から実証Plant稼動
(九大一三菱重工一大阪ガス)



CNF-ACF 複合体(OG15A-CNF5min-H1100)の開発によって
プラント容積を1/2まで縮小可能

さらに高い脱硫率を目指している

Carbon supports for heterogeneous catalysts

Carbon supports

Electron conductivity, Chemically inert, High surface area, Usable functional groups, Processability, Cost, Long life, ...

Activated carbon

High surface area, Chemically inert, Processability, Cost

Carbon black

Electron conductivity, Chemically inert, High surface area, Usable functional groups, Dispersion property

Graphite

Electron conductivity, Chemically inert, Cost, Long life, high crystallinity, ...

Carbon is key element for Batteries !!

①Li-ion



[High capacity]

(+) : LiCoO₂
(-) : Carbon(Graphite)
Conductor : Carbon

②Dry Battery



[Cheap]
[Easy Available]

(+) : MnO₂
(-) : Zn
Conductor : Carbon

③Ni-MH



[High power]
[Total balance]

(+) : (Ni-Co)(OH)₂
(-) : Mm(Ni-Mn-Al-Co)₅
substrate: Nickel and Carbon

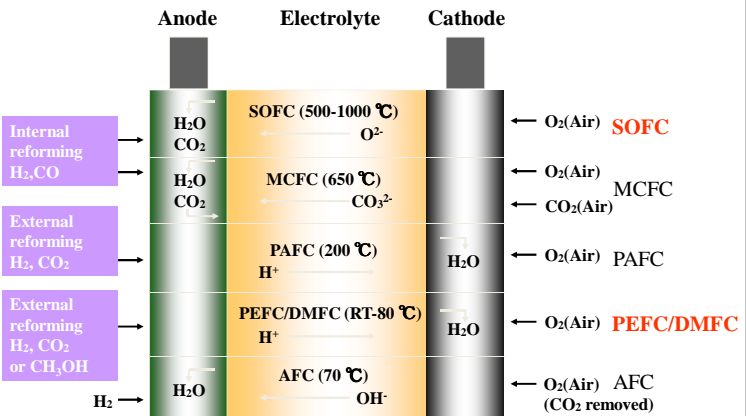
23/24

Small fuel cells

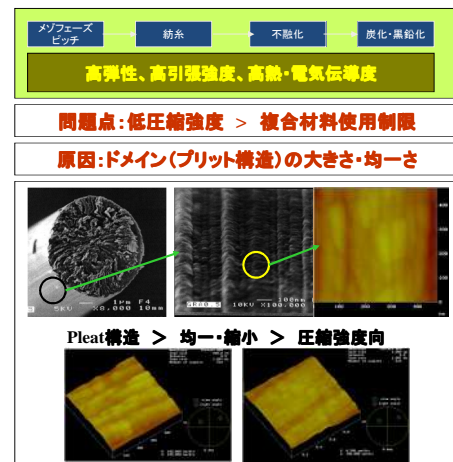
DMFC for portable and mobile applications



Fuel cells: Types

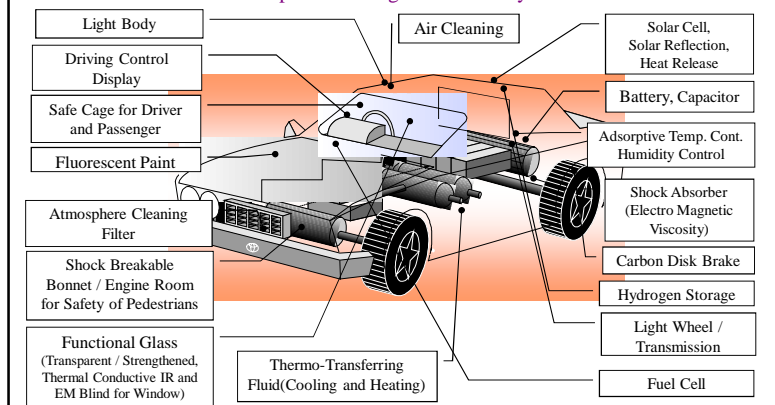


ピッチ系高性能炭素繊維



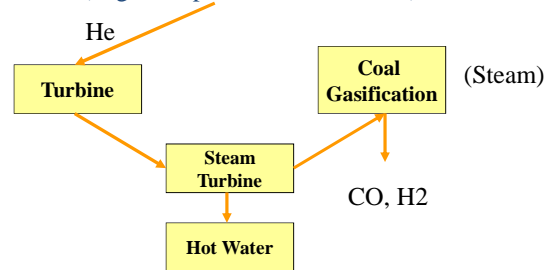
Automobile Model of the Next Generation

Least Consumption of Clean Energy
Safe and Comfortable for Passengers and Pedestrians
Cleaning the Atmosphere through Driving
Carbon Composites of Highest Efficiency



Nuclear Energy

(High Temperature Gas Reactor)



Reactor wall	C/C composites	New design
Heat exchanger	Best carbon	New system
Low temperature heat pump	Best carbon	New design
Heat transporter fluid	Nanofluids	New design and system

Carbons for Plain Water

- Energy Storage: Battery, EDLC
- Heat Pump, Heat Sink
- Desalination
- Filtration : Activated Carbons and Activated Carbon Fibers

Implantation and Growth for 2 Weeks

Carbonized GFRP



GFRP



Steel



Concrete



Required Properties for Useful Applications

As a carbon : General properties of bulk carbon

- Electrical and thermal properties
- High mechanical properties
- High surface area, porosity
- Graphitization properties
- Chemical properties as a carbon

As a nano-materials

- Nano size effect
- Regularity effect
- Quantum effect

Carbons & Nano-carbons

Carbon Assembly of nano, meso, macro-structures

Making nano-size

Nano-carbon Unit or Assembly of nano-units

- Size effect: Electron density in surface
- Regularity effect: Ultimate reactivity
- Quantum effect: Change of electric state
- More free surface: A kind of size effect
- Arranged free edge: A kind of regularity

Structure Link

Analyses of Each Substrates

at their Atomic to Bulk Sizes

Mechanisms of Conversions

Catalysts and Structure Adjustments

Organic Feeds $\xrightarrow{\text{Carbonization}}$ Carbon $\xrightarrow{\text{Graphitization}}$ Graphite

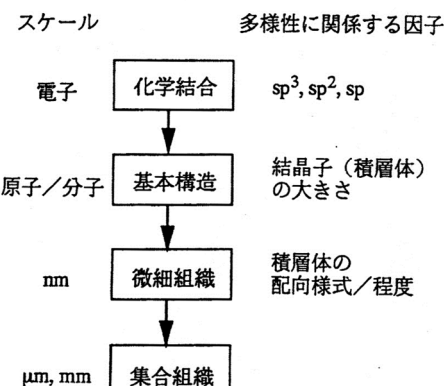
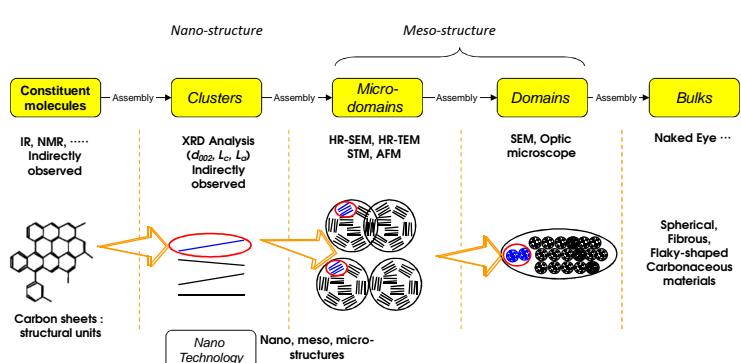
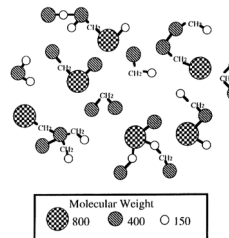


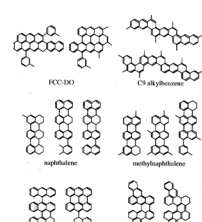
図-1 スケールごとに見た炭素材料の構造多様性



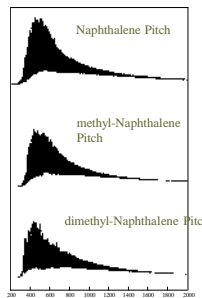
Molecules in Mesophase Pitch



Models of mesophase constituent molecules

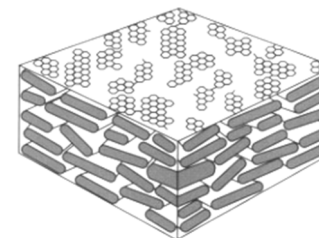


Typical mesogen units in various mesophase pitches
(Mochida et al. *Carbon* 1990, 28, 311)



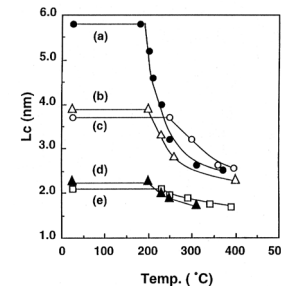
TOF-MS spectra of synthetic mesophase pitches

Design and Its Thermal Change of Aromatic Stacking



Molecular Models

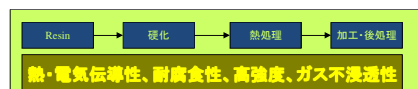
Spider Wedge Stacking of mesophase pitch
(Zimmer et al. *Advances in Liquid Crystal*, New York, 1982, 5)



Melt-XRD analysis

Change in L_c of mesophase pitch at higher temperature; (a) methylnaphthalene-derived pitch; (b) petroleum-derived mesophase pitch; (c) coal tar derived-mesophase pitch; (d) naphthalene-derived mesophase pitch; (e) anthracene-derived mesophase pitch
(Korai et al. *Carbon*, 1992, 30, 1019)

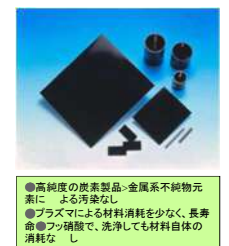
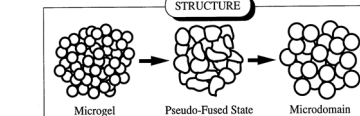
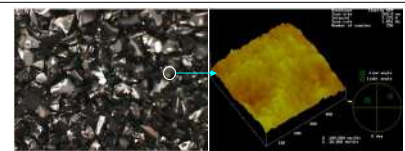
ガラス炭素(Glassy Carbon)



熱・電気伝導性、耐酸性、高強度、ガス不透過性

問題点例)放電加工用電極 >> 半導体Wafer上の汚れ

原因: 加熱放電時熱振動によるミクロドメイン粒子の落ち



●高純度の炭素製品・金属系不純物元素による汚染なし
●プラズマによる材料消耗を少なく、長寿命●フッ酸酸で、洗浄しても材料自体の消耗なし

Nano-structured carbons

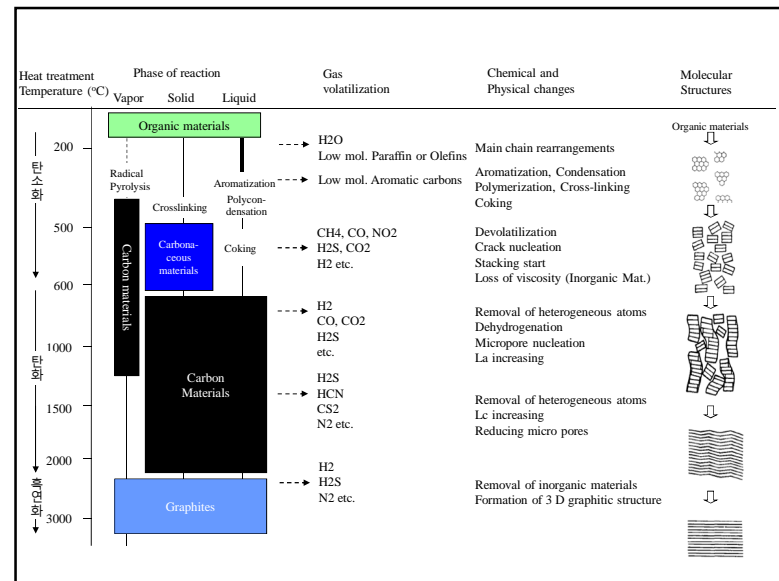
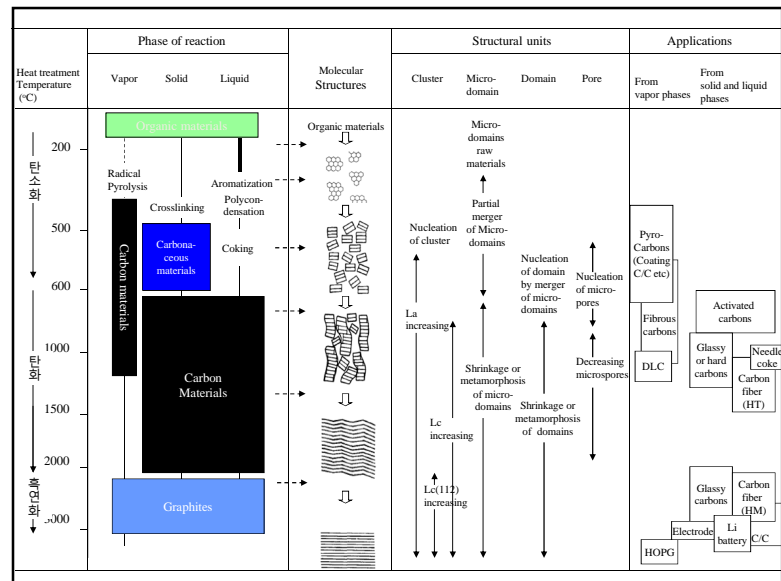
Bulky or particulated carbons having nano-structures



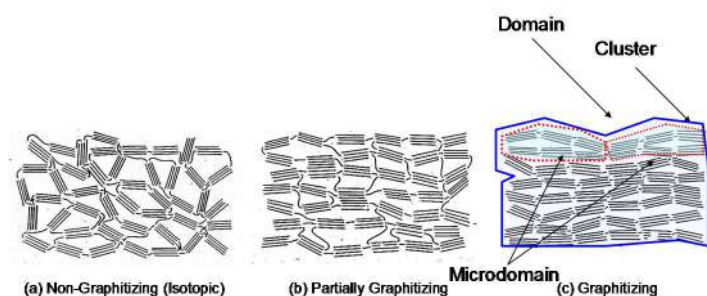
Nano-phased carbons

Carbons having tens or less nano-scaled dimensions

- Carbon nanotubes
- Carbon nanofibers
- Carbon nanocell, Fullerenes
- Pyrocarbons, and Carbon blacks



Franklin's Models of Carbon Structures



Franklin Model of Carbon

Cluster (Microcrystalline unit carbon) arrangement
→ Graphitic
→ Intermediate
→ Non-graphitic

Angstrom- and Nano-scoptic Views of Current Carbons

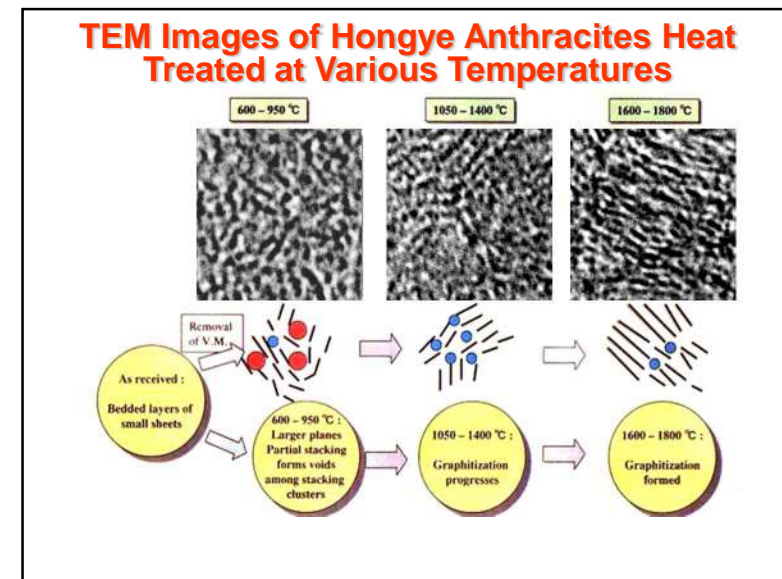
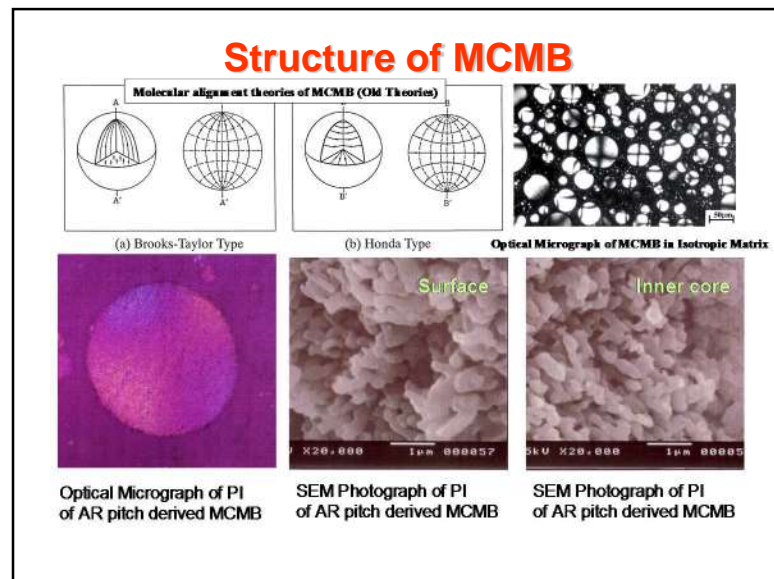
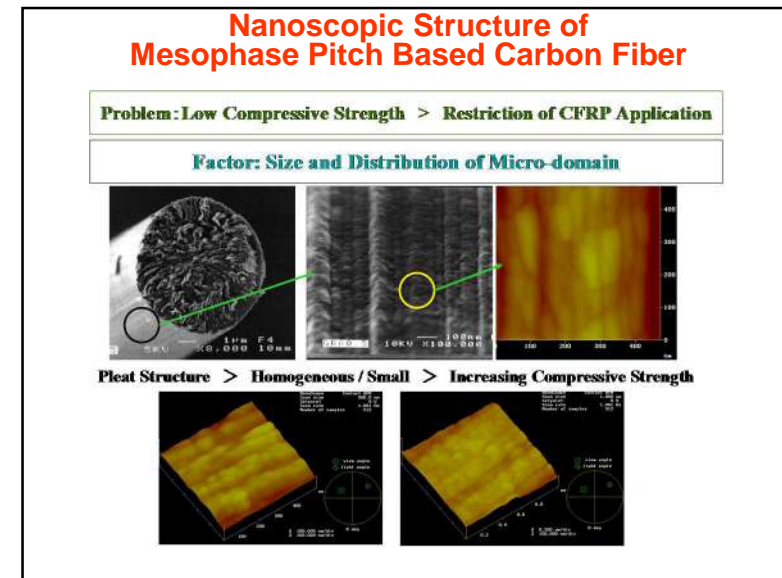
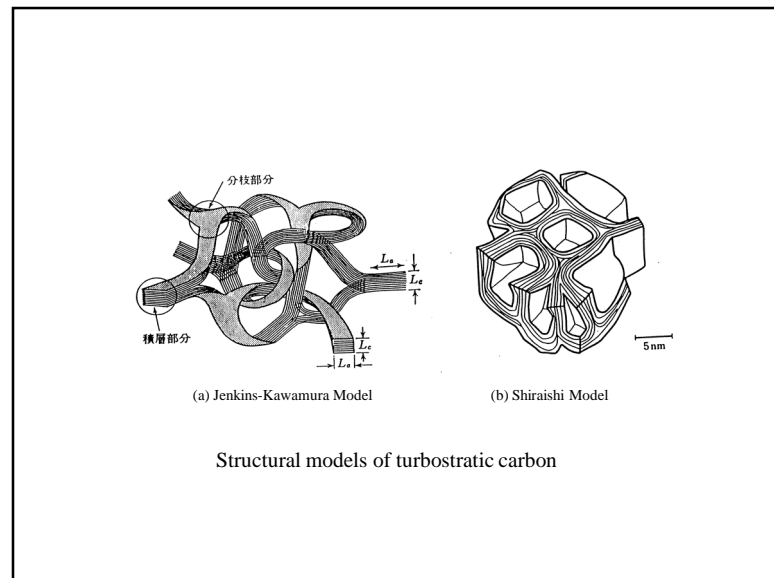
1. Three Dimensional Arrangements : Fibers, Needle Coke, Glassy Carbon (Carbon Shape)

2. Regions of Uniform Arrangement : Nano-Domain → Microdomain → Domain
Optical Texture
Microfibril → Fibrils

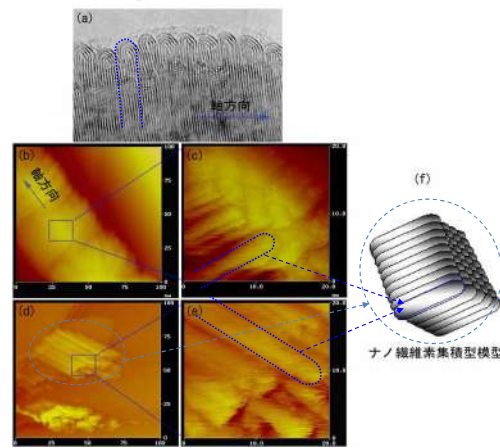
3. Variety of Cluster : Single, Double, Triple, ... Layers
Size - Nano to Several Meters
Nano-Carbons and Their Units

4. Graphene → Hexagonal Sheet
(Size and Shape)

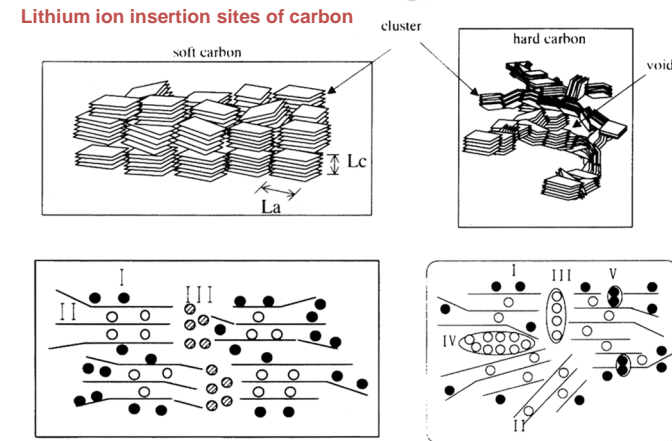
Inter-unit Spaces: Voids, Defects, and Vacancy



Assembly of Carbon Nano-rods

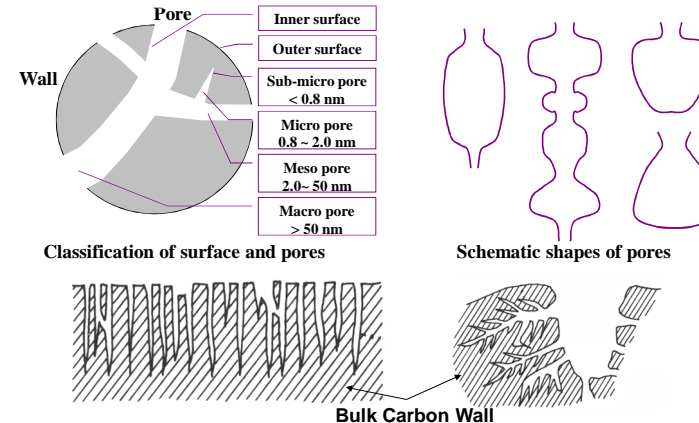


Lithium Ion Battery, Electrode

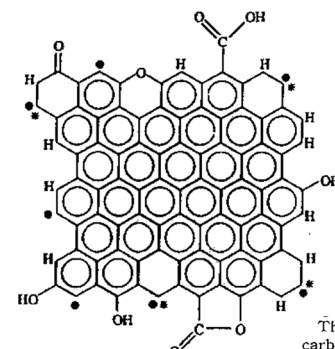


Activated Carbon

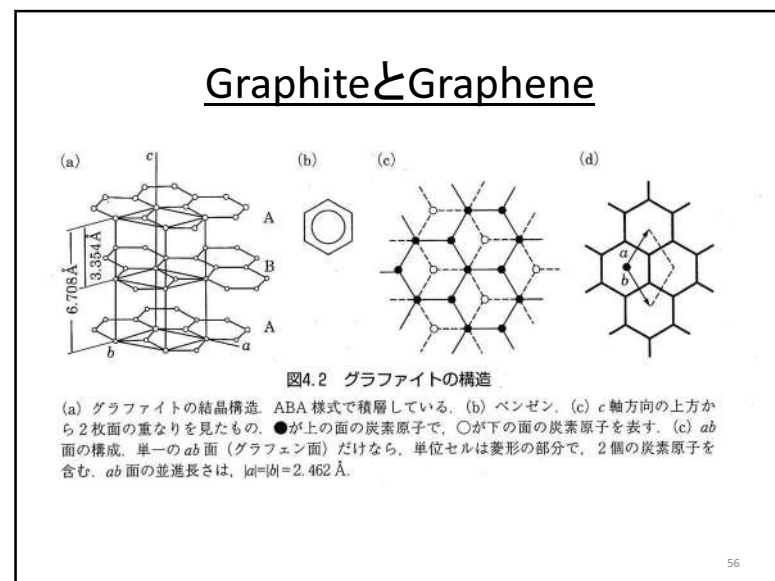
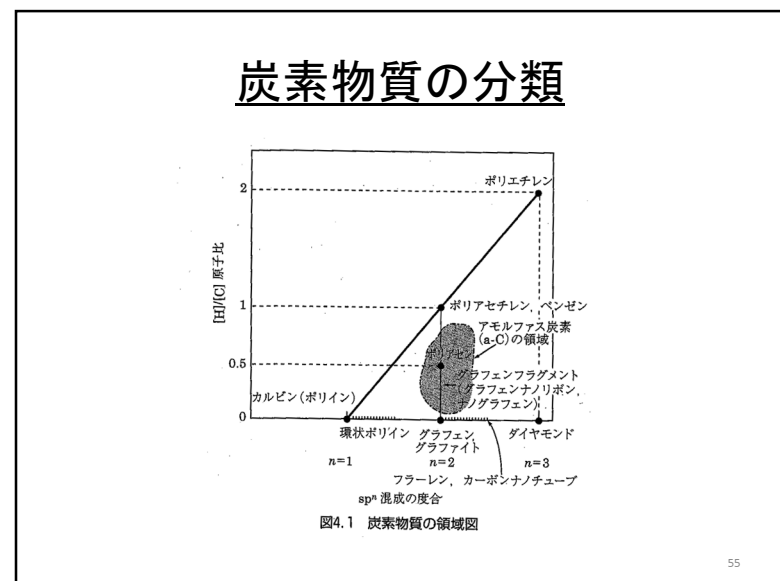
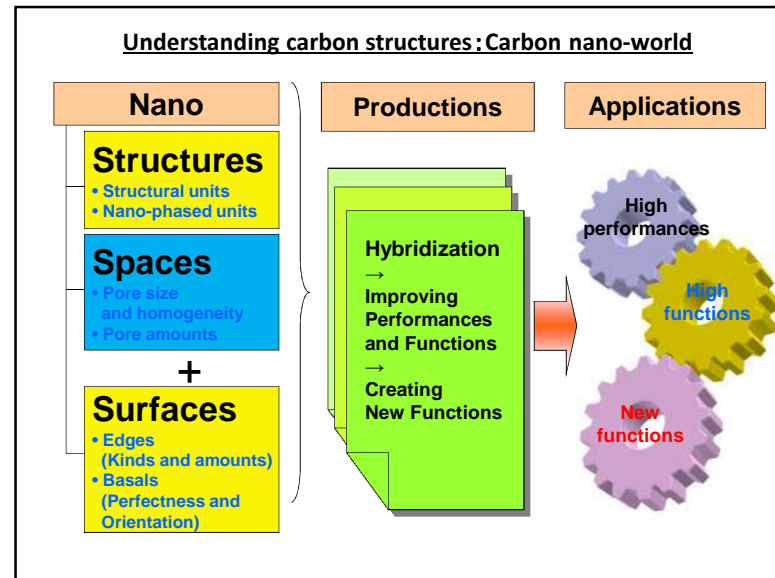
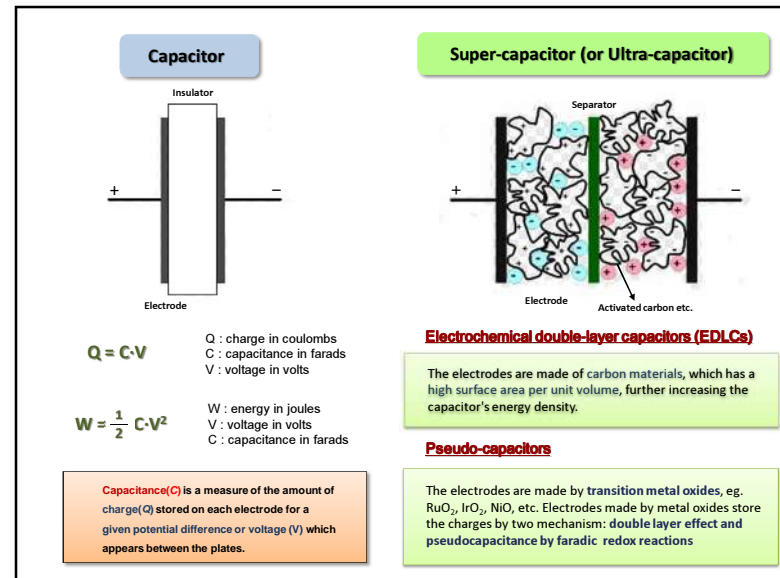
Images of comprehensive structure of pores



Surface Oxygen Functional Groups of AC



This structure is representative of an activated carbon with a crystallite width of 15 Å and an elemental analysis (by weight) of 87.5% C, 11.3% O, 1.2% H, • represents an unpaired σ electron; • * represents an "in-plane σ pair" with * being a localized π electron, (Radovic)



炭素物質の相図

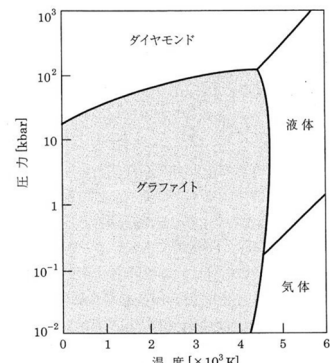


図4.3 炭素物質の相図
田中一義・阿竹徹監訳、『ポール物理化学（上）』、化学
同人（2004）、p.180より。

57

Graphiteの構造

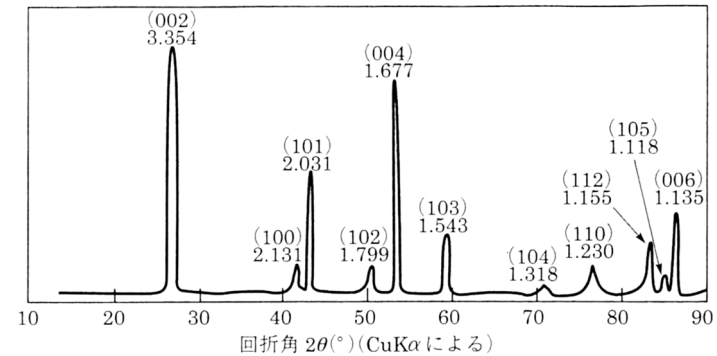


図4.4 グラファイトのX線回折パターン

58

Graphiteの電子状態

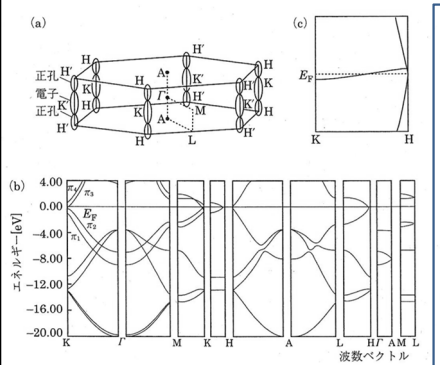


図4.5 グラファイトのブリュアン域とバンド構造
(a) 第一ブリュアン域、(b) バンド構造、(c) Fermi準位 (E_F)付近の拡大図。

GraphiteのFirst Brillouin zoneは、六角柱形状
Band構造: E_F 値をZero、K→H方向
に沿って、K点で E_F に集まつてくるよう
に見える4本の線が π Band (Graphite
e準位セル中に4個の炭素原子)
 π Bandの内、 π_2 と π_3 はK→H区間で
は縮退し、 E_F 交差する。この状態を
拡大した図が(c)である。K→H区間
で縮退した π_2 と π_3 のBand計算値は
0.028eVであり、これはHOBandとL
UBandの重なりと解析される。
以上のことから、Graphiteでは E_F 近
傍に電子と正孔が導電キャリアやとし
てほぼ同数固発生し、半金属と呼ば
れる挙動をする。電子のフェルミ面は
K点付近、正孔のそれはH点付近に
ある。

59

Graphiteの反応性

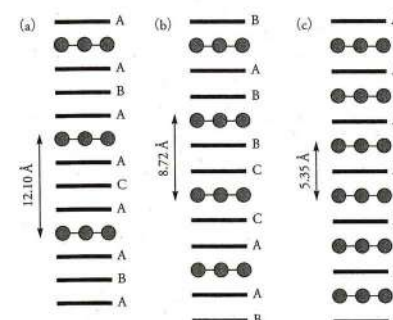
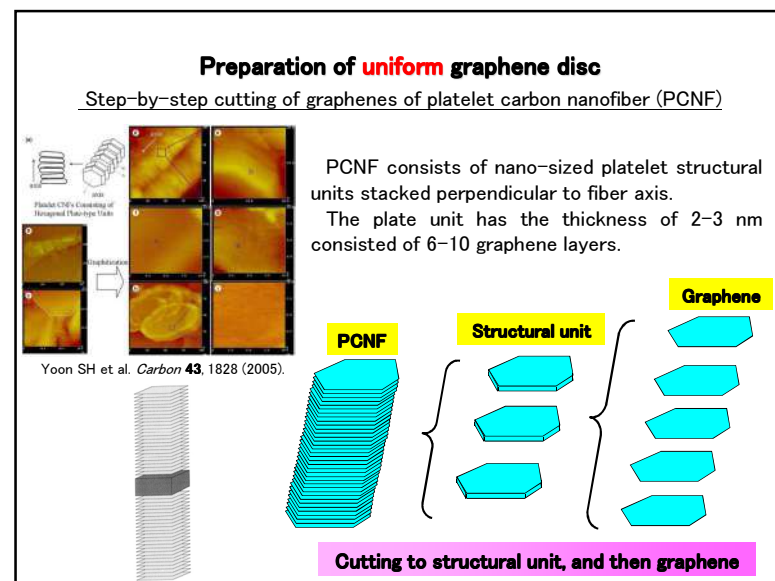
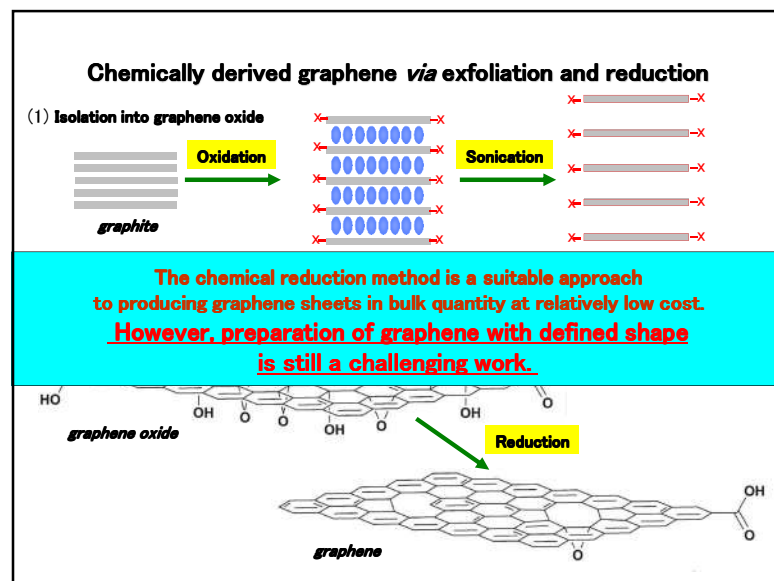
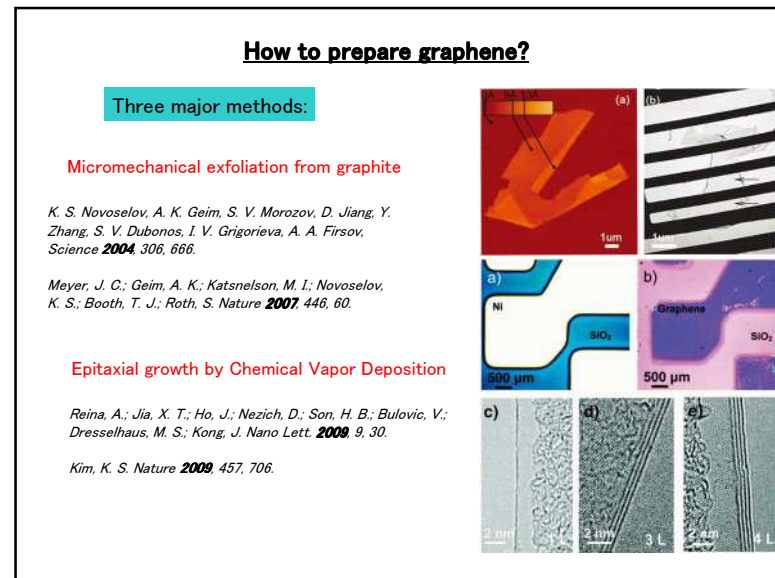
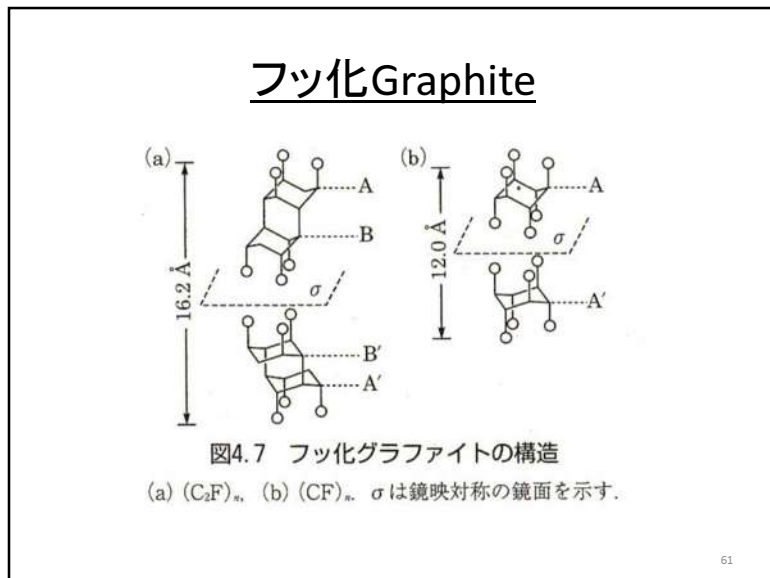
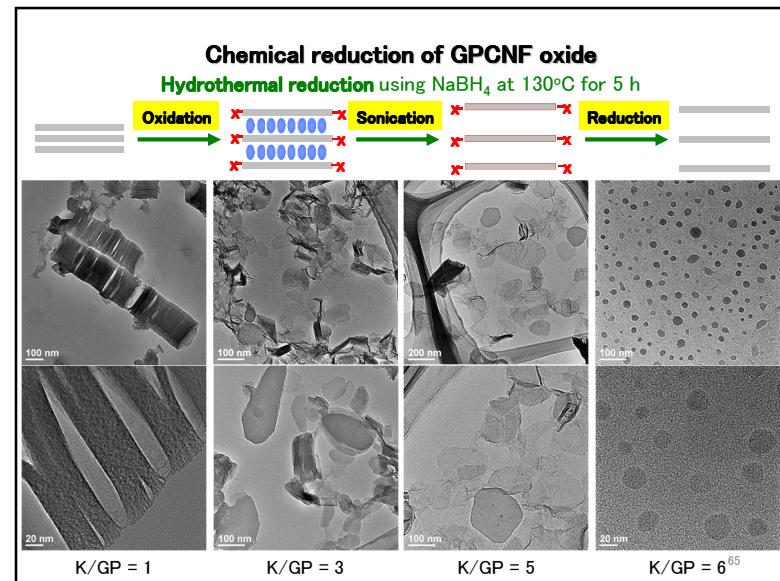


図4.6 カリウムをインタークレートとしたGICのステージ構造
実際はグラファイトのab面で、A, B, Cはその積層様式。灰色の丸印はカリウム原子。
(a) KC_{88} (ステージ3)、(b) KC_{28} (ステージ2)、(c) KC_8 (ステージ1)。

60





Grapheneの電子状態と電子物性

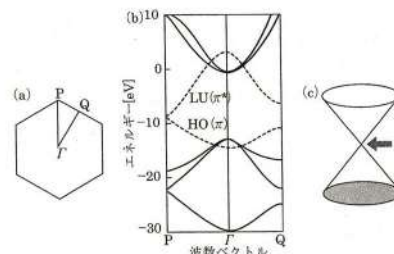


図4.8 グラフェンのブリュアン域とバンド構造
(a) 第一ブリュアン域、(b) バンド構造、(c) Dirac 円錐。

P点で現れる E_F において π 性のHO及びLUBandは、近似的に言えばほぼ直線的に交わる。Fermi準位では両Bandは接するだけで、絶対零度での状態密度はZeroである。これを立体的に示すと(c)のようになる。これをDirac型円錐とよぶ。

磁場下での二次元分子運動の性質から由来する分数量子ホール効果と振動磁気抵抗効果も示す。

量子電気力学の立場からすると、Grapheneの電子は実効的に相対論的な波動方程式であるDirac法的式に従い、質量がない粒子(Dirac型Fermi粒子)として考えられる。Grapheneにおける電子の速度は光速度の程度まで大きい。

66

Graphene Fragment

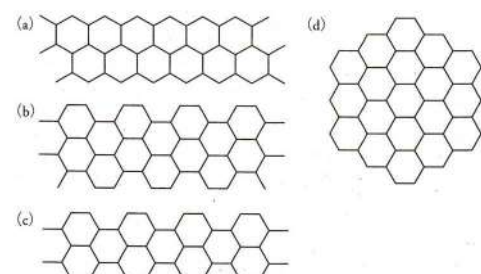


図4.9 グラフェンフラグメントの炭素骨格例
(a)～(c) は GNR で、(a) ポリアセレン (PA)、(b) ポリフェナントレン (PPh)、(c) ポリアリーレン (PAr) 系列のメンバー例。(d) はナノグラフェンのメンバー例。本節の多くの図では、結合交替や終端している水素原子を省略している。

67

Polyacene

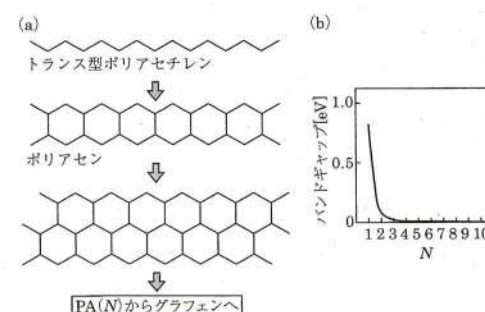


図4.10 ポリアセン
(a) ポリアセン系列 $PA(N)$ の幅の増え方、(b) バンドギャップの推移。
 $N=1$ はトランス型ポリアセチレン、 $N=2$ はポリアセン (PA) を意味する。

68

Polyphenanthrene

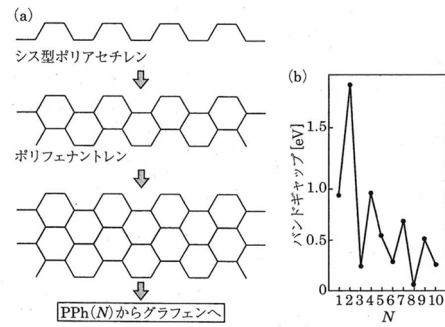


図4.11 ポリフェナントレン
(a) ポリフェナントレン系列 $\text{PPh}(N)$ の幅の増え方, (b) バンドギャップの推移.
 $N=1$ はシス型ポリアセチレン, $N=2$ はポリフェナントレン (PPh) を意味する.

69

PAとPPhの結晶軌道相

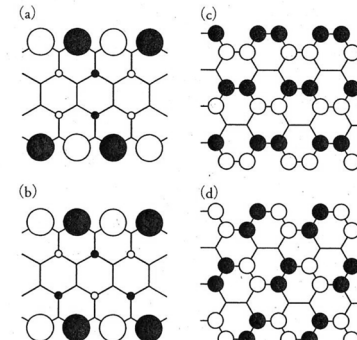


図4.12 PA(4) と PPh(4) の結晶軌道相
(a) PA(4) の HOCO, (b) PA(4) の LUCA, (c) PPh(4) の HOCO, (d) PPh(4) の LUCA の軌道相. すべて $2p\pi$ 軌道である.

70

カルビン

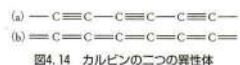


図4.14 カルビンの二つの異性体
(a) アセチレン型骨格 (ポリイン), (b) クムレン型骨格 (ポリクムレン).

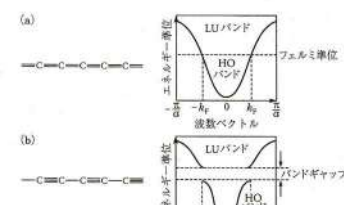


図4.15 Peierls転移
カルビンの (a) クムレン型から (b) アセチレン型への Peierls 転移とそれに伴うバンド構造の変化. クムレン型骨格が並進長さを a として表している.

71

カルビンについての計算データ

表4.2 カルビンについての計算データ^{28,29)}

計算方法	バンドギャップ [eV]	BLA* [Å]
Hartree-Fock 結晶軌道 ^b	14	0.26
DFT 結晶軌道 ^c	0.320	0.036
オリジigin 計算値(DFT)の外挿	2.211 ^d	0.134 ^e
オリジgin 実験値の外挿	2.3~2.4	0.13

*BLA : Bond length alternation, $r(\text{C}-\text{C})_{\text{avg}} - r(\text{C}\equiv\text{C})_{\text{avg}}$.

^bMinimum contracted Gaussian set, 'B3LYP/6-31G'.

^cB3LYP/6-31G* // KMLYP/6-31G*, 'BHandHLYP/6-31G'

72

カルビンの合成

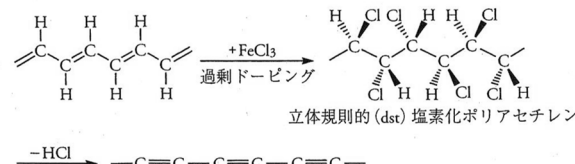
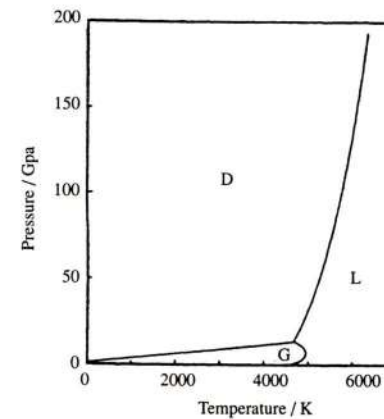


図4.16 カルビン合成のダイヤグラム

73

Diamond合成



74

Diamond

表4.3 ダイヤモンドの分類

タイプ	性質・特徴
I a	通常の天然ダイヤモンドで無色。 0.1%までのNを含む。Nは小集合体を作っている。
I b	天然物としてはまれだが、合成ダイヤモンドの多くがこれ。100 ppm以下程度のNを均一な置換型不純物として含み、わずかに黄色を呈する。
II a	合成により得られる最高純度のダイヤモンドで、天然のものよりN含有量が少ない。
II b	天然ダイヤモンドで、わずかに青色を呈する。100 ppm以下程度のBが置換型不純物として入っている。したがってp型半導体である。

75

Diamond構造

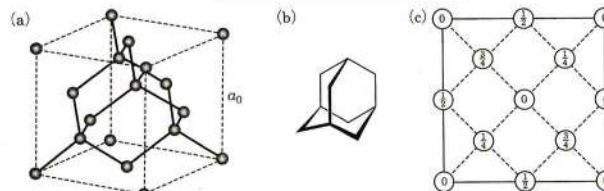


図4.19 ダイヤモンド

(a) ダイヤモンドの結晶構造、(b) アダマンタン、(c) 立方体の底面上にあるC原子(0と表示)と、底面より上にあるC原子(1/4, 1/2, 3/4と表示)。これらの数字に a_0 を掛けると、その原子の底面からの高さを表す。

正四面体型のダイヤモンド構造: 面心立方格子
炭素間距離: 0.1544 nm、結合角度: 109. 28°
再隣接原子数: 4、第二隣接原子数: 12
立方体1辺の長さ a_0 : 0.3567 nm
空間群: O^{2+}_h (Fd3m)
窒素やホウ素の混入が多い。

76

Diamond

表4.4 いくつかの固体の熱伝導率 [$\text{W m}^{-1} \text{K}^{-1}$]*

固体名	温度 [K]				
	50	100	200	300	400
Cu	—	428 (150 K)	404 (250 K)	398	—
Ag	700	450	430	427	420
Au	420	345	327	315	312
Be	4000	990	301	200	161
C(ダイヤモンド I)	3560	3010	1420	900	652
C(ダイヤモンド IIa)	9300	10000	4040	2310	1550
C(ダイヤモンド IIb)	5960	5450	2260	1350	936
C(熱分解グラファイト c)	2300	4980	3250	2000	1460
C(熱分解グラファイト g)	103	39	15	9.5	7.0

*日本化学会編、『化学便覧 基礎編 II』(改訂5版)、丸善(2004)、p.73.74より。

77

Diamondの電子状態

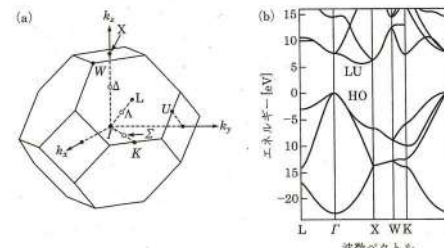


図4.20 ダイヤモンドの第一ブリュアン域とバンド構造

(a) 第一ブリュアン域、(b) バンド構造。

(a) Diamondのバンド構造は(a)に示す面心立方構造の逆格子空間を参照しながら行う。
(b) Band Gapに関する電子転移は、「点にあるHO Bandの頂上から、Γ-X間にあるLU Bandの底に対する間接転移であることが、ケイ素の場合と似ている。

Band Gapの計算値は5.67eVであり、実験値は5.48eVである。この値からWide gapを持つ半導体で、実際に絶縁体である。

IIb型ダイヤモンドはp型半導体:0.37eVでAcceptor

Ib型(窒素を含む)n型半導体:LU Bandの底から1.7eVの準位でDonor

78

Diamondの化学反応性

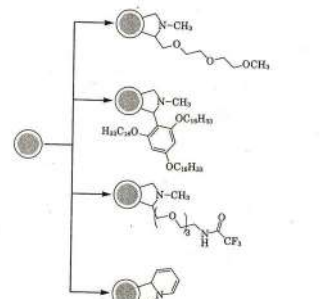
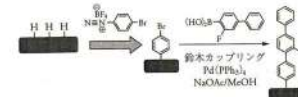
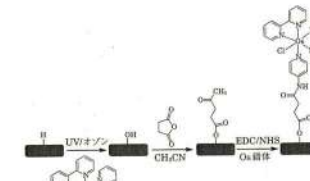


図4.22 Prato反応を利用したダイヤモンドの反応

◎印はダイヤモンドを示す。

79

Diamondの化学反応性

図4.23 ダイヤモンドの鈴木カップリング反応
灰色の長方形はダイヤモンドを示す。図4.24 電極に用いるホウ素ドープダイヤモンドの表面修飾反応
灰色の長方形はダイヤモンドを示す。

80

Amorphous Carbon

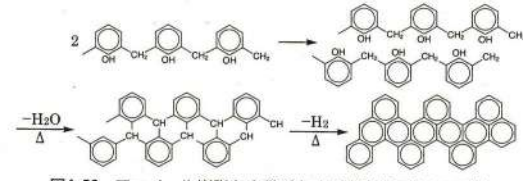


図4.26 フェノール樹脂を出発系とする炭素化反応のモデル

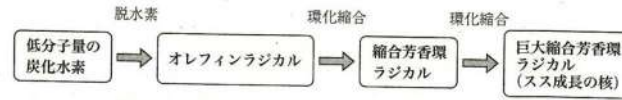


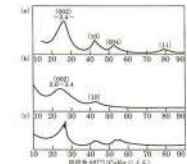
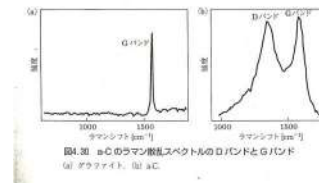
図4.27 気相中の炭素化反応における反応機構のモデル

81

Amorphous Carbon



図4.28 a-C における不完全な構造的島嶼の大きさを示す。

図4.29 a-C の X 線回折パターンの例
(a) ガーネット, (b) 木炭, (c) フェノール樹脂の熱処理法(2800°C), かっこ内の数字ははミラー番号に相当するもので、その下ビックに対応する距離(Å).図4.30 a-C のラマン散乱スペクトルのローバンドとGバンド
(a) グラファイト, (b) a-C.

82

Amorphous Carbon

表4.5 フェノール樹脂系の炭素化物に対する XRD 解析結果

出発物質	処理温度 [°C]	距離 [Å] ^a		結晶子の大きさ [Å] ^b	
		d_c	d_a	L_c	L_a
フェノール樹脂	700	3.65	2.02	8.16	22.65
	780	3.63	2.02	8.39	24.41
	860	3.61	2.05	8.68	28.21
3,5-ジメチルフェノール樹脂	700	3.55	2.03	12.09	16.96
	780	3.54	2.04	12.22	19.98
	860	3.54	2.05	13.27	23.86

^a d_c は不完全なグラフエンシート層間距離, d_a は面内の継返し距離に相当する。^b L_c は不完全なグラフエンシート積層の厚さ, L_a は不完全なグラフエンシート 1 枚の直径に相当する。

83

Amorphous Carbon

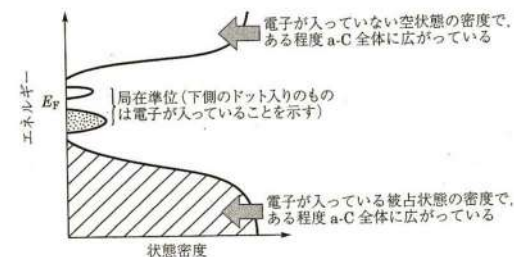


図4.31 a-C のもつ局在準位のイメージ

84

炭素の化学反応

- 炭素の化学反応(ガス化反応)
 - 気相反応:無触媒ガス化、触媒ガス化
 - 液相反応:湿式ガス化反応、電気化学反応
 - 固相反応:炭素還元反応、炭素生成反応
 - 層間加工物生成反応
- 炭素のガス化反応:工業的に重要
 - 石炭の燃焼・ガス化
 - 高炉のコークスのガス化
 - 炭素質が付着した触媒の再生
 - 活性炭素の製造
- +
 - 炭素質の耐酸化性の改善